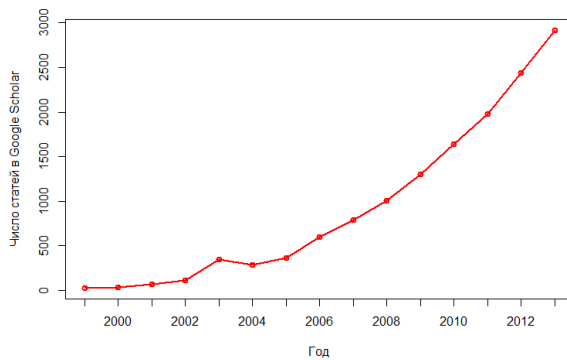


Неотрицательные матричные разложения

Рябенко Евгений
riabenko.e@gmail.com

Семинар «Стохастический анализ в задачах»
Независимый Московский университет
19 апреля 2014 г.

Неотрицательное матричное разложение (NMF)



$$P \approx AX \equiv Q, \\ P, Q \in \mathbb{R}_+^{m \times n}, \quad A \in \mathbb{R}_+^{m \times k}, \quad X \in \mathbb{R}_+^{k \times n}, \quad r < \min(m, n).$$

Оптимизационная задача:

$$(A^*, X^*) = \underset{A \geq 0, X \geq 0}{\operatorname{argmin}} D(P, AX). \quad (1)$$

Функции потерь (дивергенции)

$$D(P, Q) = \sum_{i=1}^m \sum_{j=1}^n d(p_{ij}, q_{ij}),$$

$$d(p, q) \geq 0,$$

$$d(p, q) = 0 \Leftrightarrow p = q.$$

Название	$d(p, q)$
норма l_1	$d_1(p, q) = p - q $
норма Фробениуса	$d_F(p, q) = (p - q)^2$
обобщённая дивергенция Кульбака-Лейблера	$d_{KL}(p, q) = p \ln \frac{p}{q} - p + q$
дивергенция Итакура-Сaito	$d_{IS}(p, q) = \ln \frac{q}{p} + \frac{p}{q} - 1$
расстояние Хеллингера	$d_H(p, q) = (\sqrt{p} - \sqrt{q})^2$
χ^2 Пирсона	$d_P(p, q) = \frac{(p-q)^2}{q}$
χ^2 Неймана	$d_N(p, q) = d_P(q, p) = \frac{(p-q)^2}{p}$

Больше примеров можно найти в [Cichocki et al., 2009].

Функции потерь (дивергенции)

Во многих случаях дивергенция — это замаскированное правдоподобие: существует такая функция плотности $p(P|Q)$, что

$$-\ln p(P|Q) = aD(P, Q) + b$$

для каких-то a и b .

Дивергенция	Порождающая модель	$p(P Q)$
Фробениуса	аддитивная гауссовская	$\prod_{ij} N(p_{ij} q_{ij}, \sigma^2)$
Кульбака-Лейблера	пуассоновская	$\prod_{ij} P(p_{ij} q_{ij})$
Итакура-Сайто	мультипликативная гамма	$\prod_{ij} G(p_{ij} \alpha, \alpha/q_{ij})$

Функции потерь (дивергенции)

α -дивергенция:

$$d_A^\alpha(p, q) = \begin{cases} \frac{1}{\alpha(\alpha-1)} (p^\alpha q^{1-\alpha} - \alpha p + (\alpha-1)q), & \alpha \neq 0, \alpha \neq 1, \\ p \ln \frac{p}{q} - p + q, & \alpha = 1, \\ q \ln \frac{q}{p} - q + p, & \alpha = 0. \end{cases}$$

Непрерывно соединяет хи-квадрат Пирсона, обобщённую дивергенцию Кульбака-Лейблера, расстояние Хеллингера и хи-квадрат Неймана.

β -дивергенция:

$$d_B^\beta(p, q) = \begin{cases} \frac{1}{\beta(\beta+1)} (p^{\beta+1} - q^{\beta+1} - (\beta+1)q^\beta(p-q)), & \beta \neq 0, \beta \neq -1, \\ p \ln \frac{p}{q} - p + q, & \beta = 0, \\ \ln \frac{q}{p} + \frac{p}{q} - 1, & \beta = -1. \end{cases}$$

Непрерывно соединяет обобщённую дивергенцию Кульбака-Лейблера, дивергенцию Итакура-Сайто и норму Фробениуса.

Функции потерь (дивергенции)

АБ-дивергенция:

$$d_{AB}^{(\alpha, \beta)}(p, q) = \begin{cases} \frac{1}{\alpha\beta} \left(\frac{\alpha}{\alpha+\beta} p^{\alpha+\beta} + \frac{\beta}{\alpha+\beta} q^{\alpha+\beta} - p^\alpha q^\beta \right), & \alpha, \beta, \alpha + \beta \neq 0, \\ \frac{1}{\alpha^2} \left(p^\alpha \ln \frac{p^\alpha}{q^\alpha} - p^\alpha + q^\alpha \right), & \alpha \neq 0, \beta = 0, \\ \frac{1}{\alpha^2} \left(\ln \frac{q^\alpha}{p^\alpha} + \left(\frac{q^\alpha}{p^\alpha} \right)^{-1} - 1 \right), & \alpha = -\beta \neq 0, \\ \frac{1}{\beta^2} \left(q^\beta \ln \frac{q^\beta}{p^\beta} - q^\beta + p^\beta \right), & \alpha = 0, \beta \neq 0, \\ \frac{1}{2} (\ln p - \ln q)^2, & \alpha = \beta = 0. \end{cases}$$

Объединяет α - и β -дивергенции, пересекающиеся в обобщённой дивергенции Кульбака-Лейблера.

Функции потерь (дивергенции)

Дивергенция Брегмана:

$$d_\phi(p, q) = \phi(p) - \phi(q) - \nabla\phi(q)(p - q),$$

$\phi(p)$ — произвольная строго выпуклая вещественнозначная функция,
 $\nabla\phi(q)$ — её производная по q .

$\phi(p)$	Дивергенция
$p^2/2$	Фробениуса
$p \ln p$	Кульбака-Лейблера
$-\ln p$	Итакура-Сaitо
$\begin{cases} \frac{1}{\beta(\beta+1)} (p^{\beta+1} - (\beta + 1)p + \beta), & \beta > -1, \\ p \ln p - p + 1, & \beta = 0, \\ p - \ln p - 1, & \beta = -1 \end{cases}$	β -дивергенция

Проблемы NMF

- NMF NP-трудна [Vavasis, 2009].
- NMF некорректно поставлена: если A_0, X_0 — решение задачи (1), то пара $A = A_0 D$, $X = D^{-1} X_0$ тоже является решением (при условии, что матрица перехода D невырождена и сохраняет неотрицательность компонент разложения).
- Все $D(P, AX)$ не выпуклы по совокупности аргументов (A, X) , поэтому чаще всего используют блочно-покоординатные методы минимизации:

Вход: $A^0 \geq 0, X^0 \geq 0$

Цикл // $t = 1, 2, \dots$

$$X^t = f(P, A^{t-1}, X^{t-1});$$

$$(A^t)^T = f\left(P^T, (X^t)^T, (A^{t-1})^T\right).$$

- Лучшее, что можно гарантировать — сходимость к стационарной точке, определяемой условиями Каруша-Куна-Таккера:

$$\begin{aligned} X^* \geq 0, \quad \nabla_X D(P, A^* X^*) \geq 0, \quad X^* \otimes \nabla_X D(P, A^* X^*) = 0, \\ A^* \geq 0, \quad \nabla_A D(P, A^* X^*) \geq 0, \quad A^* \otimes \nabla_A D(P, A^* X^*) = 0. \end{aligned} \tag{2}$$

Условия единственности разложения

Бесполезные

- Достаточное: пусть матрица P имеет ранг r и у неё есть точное неотрицательное разложение, тогда оно единственno, если P содержит r ненулевых столбцов, в каждом из которых есть $r - 1$ ноль, и профили разреженности всех $r - 1$ строк, содержащих нули, различны [Gillis, 2012].
- Достаточное: определим

$$C \equiv \left\{ y \in \mathbb{R}^r \mid y^T 1 \geq \sqrt{r-1} \|y\|_2 \right\},$$

$$bdC^* \equiv \left\{ y \in \mathbb{R}^r \mid y^T 1 = \|y\|_2 \right\},$$

$$\text{cone}(X^T) \equiv \left\{ y = X^T \lambda \mid \lambda \geq 0 \right\},$$

$$\text{cone}(X^T)^* \equiv \left\{ x \mid y^T x \geq 0 \quad \forall y \in \text{cone}(X^T) \right\}.$$

Если $\text{cone}(X^T) \supseteq C$ и

$$bdC^* \cap \text{cone}(X^T)^* = \{\lambda e_k \mid \lambda \geq 0, k = 1, \dots, r\},$$

и аналогичное верно для A^T , то разложение единственno [Huang et al., 2014]. Проверка этого условия — NP-трудная задача.

Условия единственности разложения

Относительно полезные

- Необходимое: носитель каждого столбца X (и строки A) не может являться подмножеством носителя любого другого столбца X (строки A) [Laurberg, Christensen, 2008].
- Достаточное: одна из двух матриц A и X содержит диагональную подматрицу размера r [Donoho, Stodden, 2004, Laurberg, Christensen, 2008].

NMF с нормой Фробениуса

Оптимизационная задача:

$$(A^*, X^*) = \underset{A \geq 0, X \geq 0}{\operatorname{argmin}} \|P - AX\|_F^2. \quad (3)$$

Без ограничения неотрицательности решение можно было бы получить с помощью SVD.

Базовый метод — поочерёдный градиентный спуск:

$$\begin{aligned}x_{kj} &\leftarrow x_{kj} - \nu_{kj} \frac{\partial D(P, AX)}{\partial x_{kj}}, \\a_{ik} &\leftarrow a_{ik} - \eta_{ik} \frac{\partial D(P, AX)}{\partial a_{ik}}.\end{aligned}$$

$$k = 1, \dots, r, \quad i = 1, \dots, m, \quad j = 1, \dots, n.$$

Мультипликативные обновления

Один из первых методов был предложен в [Lee, Seung, 1999, 2001]. Идея: выбрать шаги градиентного спуска так, чтобы обновления стали мультипликативными, тогда будет сохраняться неотрицательность элементов матриц.

$$\begin{aligned} [\nabla_X]_{kj} &= \frac{\partial D(P, AX)}{\partial x_{kj}} = [\nabla_X^+]_{kj} - [\nabla_X^-]_{kj}, \\ \nu_{kj} &= \frac{x_{kj}}{[\nabla_X^+]_{kj}}, \\ x_{kj} &\leftarrow x_{kj} - \frac{x_{kj}}{[\nabla_X^+]_{kj}} \left([\nabla_X^+]_{kj} - [\nabla_X^-]_{kj} \right) = \\ &= x_{kj} \frac{[\nabla_X^-]_{kj}}{[\nabla_X^+]_{kj}}; \end{aligned}$$

в матричном виде:

$$X \leftarrow X \otimes \nabla_X^- \oslash \nabla_X^+.$$

\otimes — поэлементное умножение матриц, \oslash — поэлементное деление.

Мультиплекативные обновления

MU для нормы Фробениуса:

$$\begin{aligned}\nabla_X &= A^T AX - A^T X, \\ X &\leftarrow X \otimes \left(A^T P \right) \oslash \left(A^T AX \right), \\ x_{kj} &\leftarrow x_{kj} \frac{\left[A^T P \right]_{kj}}{\left[A^T AX \right]_{kj}}.\end{aligned}$$

Правая часть — глобальный минимум дополнительной функции (квадратичной функции, мажорирующей $D_F(P, AX)$ на текущей итерации) [Lee, Seung, 2001]. Следовательно, функция потерь монотонно невозрастает.

Является ли предельная точка мультиплекативного алгоритма стационарной точкой задачи (3)?

Алгоритм может застревать в нестационарных точках вблизи нулей: если $x_{kj} = 0$, то он останется равным нулю, даже если $\left[\nabla_X \right]_{kj} < 0$.

Мультипликативные обновления

Варианты модификации мультипликативного алгоритма.

- Отделять элементы A и X небольшой положительной константой ε [Gillis, Glineur, 2012, Hibi, Takahashi, 2011]:

$$X \leftarrow \max \left(\varepsilon, X \otimes \left(A^T P \right) \oslash \left(A^T A X \right) \right).$$

Показано, что алгоритм с такими обновлениями сходится к стационарной точке модифицированной задачи:

$$(A_\varepsilon^*, X_\varepsilon^*) = \underset{A \geq \varepsilon, X \geq \varepsilon}{\operatorname{argmin}} \|P - AX\|_F^2, \quad (4)$$

Для $A = A_\varepsilon^* \otimes [A_\varepsilon^* > \varepsilon]$, $X = X_\varepsilon^* \otimes [X_\varepsilon^* > \varepsilon]$ условия стационарности исходной задачи выполняются с точностью до $\mathcal{O}(\varepsilon)$:

$$\forall k, j \quad \begin{cases} x_{kj} = 0, & [\nabla_X]_{kj} \geq -\mathcal{O}(\varepsilon), \\ x_{kj} > 0, & |[\nabla_X]_{kj}| \leq \mathcal{O}(\varepsilon). \end{cases}$$

Мультипликативные обновления

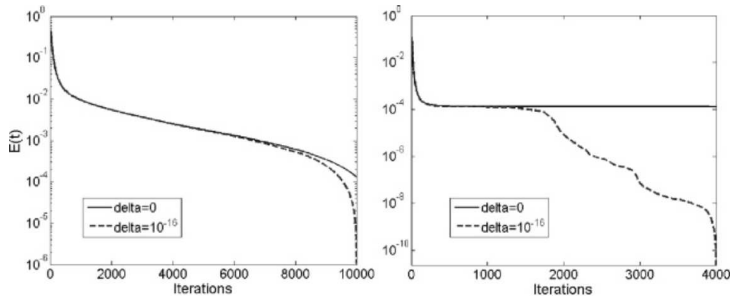
- Использовать оригинальные мультипликативные обновления, но после каждого шага реинициализировать небольшой положительной константой ε только те элементы, для которых соответствующая компонента градиента отрицательна [Chi, Kolda, 2012].

Мультипликативные обновления

$$e^t = \|P - A^t X^t\|_F,$$

$$E^t = \frac{e^t - e_{\min}}{e^0 - e_{\min}},$$

e_{\min} — наименьшая итоговая ошибка при многократной инициализации.



[Gillis, Glineur, 2012]: E^t для обычного ($\text{delta}=0$) и модифицированного ($\text{delta}=10^{-16}$) мультипликативных алгоритмов на плотных (слева) и разреженных (справа) данных.

Мультипликативные обновления

Пусть Z — число ненулевых элементов матрицы P , тогда на обновление X требуется:

шаг	флоп
$M_1 = A^T P$	$2Zr$
$M_2 = A^T A$	$2mr^2$
$M_3 = M_2 X$	$2nr^2$
$X \leftarrow X \otimes M_1 \oslash M_3$	$2nr$

$r(2Z + 2mr + 2nr + 2n)$ флоп.

Больше всего операций ($2Zr + 2mr^2$) требуется для вычисления $A^T P$ и $A^T A$; эффективнее вычислить их один раз и сделать несколько итераций по X .

Относительная стоимость первого обновления:

$$\rho_X = \frac{2r(Z + mr + nr + n)}{2nr(r+1)} = 1 + \frac{Z + mr}{n(r+1)};$$

при $Z \geq r(m+n)$ $\rho_X \geq 2\frac{r}{r+1}$.

Мультипликативные обновления

Число внутренних итераций l можно определять в соответствии с динамическим критерием:

$$\left\| X^{t,l} - X^{t,l-1} \right\|_F \leq \epsilon \left\| X^{t,1} - X^{t,0} \right\|_F,$$

или брать $l = 1 + \alpha \rho_X$, подбирай $\alpha \geq 0$.

На практике хорошо работает комбинация этих двух методов [Gillis, Glineur, 2012].

Мультипликативные обновления

Методы с мультипликативными обновлениями очень популярны, потому что они:

- просты в реализации;
- хорошо масштабируются и легко приспосабливаются к работе с разреженными матрицами;
- были предложены в самой первой работе по NMF.

Известно, что скорость их сходимости невелика [Han et al., 2009]; однако её можно существенно увеличить, если обновлять A и X по несколько раз подряд [Gillis, Glineur, 2012].

Метод попеременных наименьших квадратов

Alternating Least Squares (ALS): на каждом шаге находится решение задачи наименьших квадратов по одной из компонент, а затем проецируется на неотрицательную область.

$$\begin{aligned} X &\leftarrow \max \left(\underset{Y \in \mathbb{R}^{k \times n}}{\operatorname{argmin}} \|P - AY\|_F, 0 \right) = \\ &= \max \left((A^T A)^{-1} A^T P, 0 \right). \end{aligned}$$

Проектирование портит решение; его можно улучшить, если на каждом шаге умножать обновляемую компоненту на

$$\alpha^* = \underset{\alpha \geq 0}{\operatorname{argmin}} \|P - \alpha AX\|_F = \frac{\langle PX^T, A \rangle}{\langle A^T A, XX^T \rangle}. \quad (5)$$

Метод очень грубый: итерационный процесс не сходится, функция потерь осциллирует [Gillis, 2014]. Можно использовать для инициализации других методов.

Метод попеременных неотрицательных наименьших квадратов

Alternating Nonnegative Least Squares (ANLS) [Berry et al., 2007]:
на каждом шаге точно находится покомпонентный минимум в
неотрицательной области.

$$X \leftarrow \operatorname{argmin}_{X \geq 0} \|P - AX\|_F.$$

Покомпонентные минимумы можно находить с помощью методов активных ограничений [Kim, Park, 2007, 2008, 2011], проекции градиента [Lin, 2007], квазиньютоновских методов [Zdunek, Cichocki, 2006], оптимального градиентного метода Нестерова [Guan et al., 2012].

Для сходимости метода блочно-покоординатного спуска с двумя блоками к стационарной точке достаточно, чтобы D была непрерывно дифференцируемой, а допустимое множество — декартовым произведением замкнутых выпуклых множеств [Grippo, Sciandrone, 2000].

Каждая итерация требует существенных вычислительных затрат: лучший — метод Нестерова — на $Kr^2(m + n)$ флоп больше МУ. Можно использовать для уточнения решения, найденного более простыми методами.

Метод иерархических попеременных наименьших квадратов

Hierarchical alternating least squares (HALS) [Cichocki et al., 2007, Cichocki, Phan, 2009], а также [Ho, 2008, Gillis, Glineur, 2010, Li, Zhang, 2009]: на каждом шаге находится точный минимум в неотрицательной области по столбцу A или строке X .

Пусть фиксированы все переменные, кроме x_{kj} .

$$x_{kj} \leftarrow \underset{x_{kj} \geq 0}{\operatorname{argmin}} \|P - AX\|_F = \max \left(0, \frac{A_{:k}^T P_{:j} - \sum_{l \neq k} A_{:l}^T A_{:l} x_{lj}}{A_{:k}^T A_{:k}} \right).$$

Это решение не зависит от других x в k -й строке, поэтому можно находить точный минимум сразу для всей строки:

$$X_{k:} \leftarrow \underset{X_{k:} \geq 0}{\operatorname{argmin}} \|P - AX\|_F = \max \left(0, \frac{A_{:k}^T P - \sum_{l \neq k} A_{:k}^T A_{:l} X_{l:}}{A_{:k}^T A_{:k}} \right).$$

Метод иерархических попеременных наименьших квадратов

Удобно записать обновления через матрицу частичных остатков:

$$\begin{aligned} P^{(k)} &\equiv P - \sum_{l \neq k} A_{:l} X_{l,:}, \\ X_{k:} &\leftarrow \max \left(0, \frac{A_{:k}^T P^{(k)}}{A_{:k}^T A_{:k}} \right). \end{aligned}$$

Метод иерархических попеременных наименьших квадратов

Особенности метода.

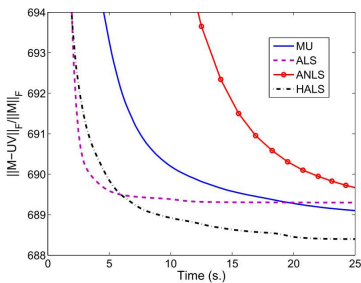
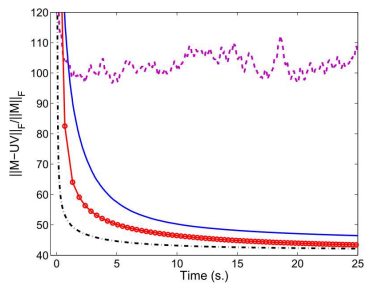
- Как и MU, HALS может застревать в нестационарных точках на границе. Можно использовать аналогичные модификации:

$$X_{k:} \leftarrow \max \left(\varepsilon, \frac{A_{:k}^T P - \sum_{l \neq k} A_{:k}^T A_{:l} X_{l:}}{A_{:k}^T A_{:k}} \right).$$

Любая предельная точка такого алгоритма является стационарной точкой модифицированной задачи (4) [Gillis, Glineur, 2012].

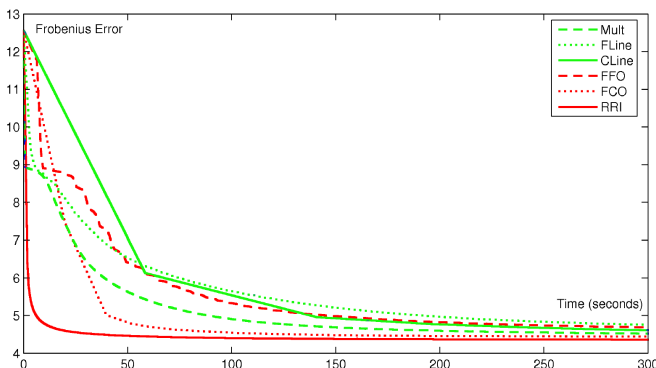
- Метод чувствителен к начальному приближению, особенно к плохой нормировке: лучше использовать (5).
- Обновление X требует почти того же числа операций, что и MU ($r(2Z + 2mr + 2nr + n)$ флоп), но HALS сходится быстрее.
- Как и MU, HALS можно ускорить, обновляя X по несколько раз [Gillis, Glineur, 2012], но ещё выгоднее выбирать строки X по правилу типа Гаусса-Саутвелла (строки с минимальным градиентом) [Hsieh, Dhillon, 2011].

Сравнение алгоритмов



[Gillis, 2014]: зависимость относительной точности приближения $\frac{\|P-AX\|_F}{\|P\|_F}$ от времени работы рассмотренных алгоритмов на плотных (слева) и разреженных (справа) данных.

Сравнение алгоритмов



[Но, 2008]: зависимость абсолютной точности приближения от времени работы рассмотренных алгоритмов на плотных данных. Mult — мультипликативные обновления, FLine, CLine, FFO, FCO — различные методы второго порядка, RRI — HALS.

Инициализация

Поскольку методы сходятся локально, начальное приближение играет большую роль. Следующие методы используются для построения начального приближения.

- Случайная инициализация.
- Кластеризация [Casalino et al., 2014]: центроиды, полученные при кластеризации столбцов P , инициализируют столбцы A , а X инициализируется с помощью матрицы принадлежности к кластерам ($x_{kj} \neq 0 \Leftrightarrow P_{:j}$ принадлежит кластеру k).
- SVD [Boutsidis, Gallopoulos, 2008]: для P находятся r наибольших сингулярных троек (u_k, s_k, v_k) .

$$A_{:1}^0 = u_1 \sqrt{s_1}, \quad X_{1:}^0 = v_1 \sqrt{s_1};$$

Цикл // $k = 2, \dots, r$

Если $\|u_k^+\| \cdot \|v_k^+\| > \|u_k^-\| \cdot \|v_k^-\|$, то

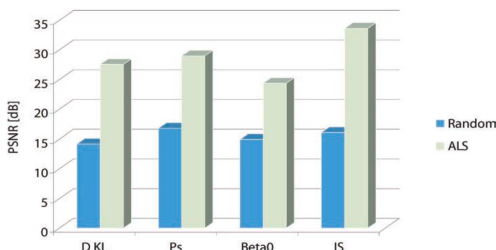
$$A_{:k}^0 = u_k^+ \sqrt{s_k \frac{\|v_k^+\|}{\|u_k^+\|}}, \quad X_{k:}^0 = v_k^+ \sqrt{s_k \frac{\|u_k^+\|}{\|v_k^+\|}},$$

иначе

$$A_{:k}^0 = u_k^- \sqrt{s_k \frac{\|v_k^-\|}{\|u_k^-\|}}, \quad X_{k:}^0 = v_k^- \sqrt{s_k \frac{\|u_k^-\|}{\|v_k^-\|}}.$$

Инициализация

- ALS [Cichocki et al., 2009]:



- Мультистарт [Cichocki et al., 2009]:

- с помощью ALS генерируются 10-20 пар матриц;
- делаются 10-20 итераций целевого метода на каждой паре;
- в качестве начального приближения выбирается пара с наименьшим значением функционала.

Для методов, требующих отделения A и X от нуля, инициализацию можно модифицировать.

NMF с обобщённой дивергенцией Кульбака-Лейблера

Оптимизационная задача:

$$\begin{aligned}(A^*, X^*) &= \underset{A \geq 0, X \geq 0}{\operatorname{argmin}} D_{KL}(P, AX) = \\ &= \underset{A \geq 0, X \geq 0}{\operatorname{argmin}} \sum_{i=1}^m \sum_{j=1}^n \left(p_{ij} \ln \frac{p_{ij}}{[AX]_{ij}} - p_{ij} + [AX]_{ij} \right). \quad (6)\end{aligned}$$

Мультипликативные обновления

Алгоритм с мультипликативными обновлениями записывается по аналогии [Lee, Seung, 2001]:

$$\nabla_X = A^T J_{m \times n} - A^T (P \oslash (AX)),$$

$$X \leftarrow X \otimes \left(A^T (P \oslash (AX)) \right) \oslash \left(A^T J_{m \times n} \right),$$

$$[\nabla_X]_{kj} = \sum_{i=1}^m a_{ik} - \sum_{i=1}^m a_{ik} \frac{p_{ij}}{q_{ij}},$$

$$x_{kj} \leftarrow x_{kj} \frac{\sum\limits_{i=1}^m a_{ik} \frac{p_{ij}}{q_{ij}}}{\sum\limits_{i=1}^m a_{ik}}.$$

Обновления минимизируют дополнительную функцию, функция потерь монотонно невозрастает. Однако предельная точка алгоритма может не быть стационарной.

Квазиньютоновский метод

Единственный (?) предложенный метод второго порядка [Zdunek, Cichocki, 2006]:

$$\begin{aligned} X &\leftarrow \max (0, X - H_X^{-1} \nabla_X), \\ H_X &= \text{diag} \{h_{X,j}, j = 1, \dots, m\} \in \mathbb{R}^{kr \times kr}, \\ h_{X,j} &= A^T \text{diag} \left\{ [P \oslash (Q \otimes Q)]_{:,j} \right\} A \in \mathbb{R}^{r \times r}. \end{aligned}$$

Чтобы обращать гессиан, делается регуляризация по методу Левенберга-Марквардта.

Алгоритм записан для α -дивергенции (при $\alpha = 1$ она превращается в дивергенцию Кульбака-Лейблера).

Связь с PLSA

Мультипликативный алгоритм для NMF с обобщённой дивергенцией Кульбака-Лейблера тесно связан с EM-PLSA.

E-шаг PLSA:

$$n_{dwt} = n_{dw} \frac{\phi_{wt}\theta_{td}}{\sum_{s \in T} \phi_{ws}\theta_{sd}} \rightsquigarrow a_{ik}x_{kj} \frac{p_{ij}}{q_{ij}};$$

M-шаг:

$$\theta_{td} \leftarrow \frac{\sum_{w \in W} n_{dwt}}{\sum_{w \in W} \sum_{s \in T} n_{dwt}} \rightsquigarrow x_{kj} \leftarrow x_{kj} \frac{\sum_{i=1}^m a_{ik} \frac{p_{ij}}{q_{ij}}}{\sum_{l=1}^r x_{lj} \sum_{i=1}^m a_{il} \frac{p_{ij}}{q_{ij}}}.$$

KL-NMF

$$\frac{x_{kj} \sum_{i=1}^m a_{ik} \frac{p_{ij}}{q_{ij}}}{\sum_{i=1}^m a_{ik}}$$

EM-PLSA

$$\frac{x_{kj} \sum_{i=1}^m a_{ik} \frac{p_{ij}}{q_{ij}}}{\sum_{l=1}^r x_{lj} \sum_{i=1}^m a_{il} \frac{p_{ij}}{q_{ij}}}$$

Связь с PLSA

[Ding et al., 2006, 2008]: PLSA и KL-NMF минимизируют один и тот же функционал, но по-разному, и поэтому могут сходиться в разные локальные минимумы.

Как показывают эксперименты, PLSA может выбираться из локальных минимумов, в которых застревает KL-NMF, и наоборот \Rightarrow можно использовать гибридный алгоритм.

Применение к стохастическим матрицам

NMF может применяться к матрицам вероятностей, нормированных, например, по столбцам:

$$\sum_{i=1}^n p_{ij} = 1 \quad \forall j.$$

Показано, что в стационарных точках задачи (6) суммы по строкам и столбцам матриц P и $Q^* = A^*X^*$ совпадают [Morup, Hansen, 2010], то есть, модельная матрица Q^* тоже является стохастической. Однако алгоритмов, гарантирующих сходимость к стационарной точке, нет.

Применение к стохастическим матрицам

Ещё больше проблем возникает, когда матрицы A и X тоже должны быть стохастическими:

$$\sum_{i=1}^n a_{ik} = 1, \quad \sum_{k=1}^r x_{kj} \quad \forall j, k.$$

Как это явно учесть при оптимизации?

- Нормировка [Lee, Seung, 1999]: после каждого шага обновлявшаяся матрица нормируется:

$$x_{kj} \leftarrow \frac{x_{kj}}{\sum_{l=1}^r x_{lj}}.$$

Может нарушаться монотонность убывания функции потерь.

- Репараметризация [Zhu et al., 2013]: перейдём от матрицы X к Y :

$$x_{kj} = \frac{y_{kj}}{\sum_{l=1}^r y_{lj}},$$

$$\frac{\partial x_{kj}}{\partial y_{lj}} = \frac{\delta_{kl}}{\sum_{l=1}^r y_{lj}} - \frac{y_{kj}}{\left(\sum_{l=1}^r y_{lj}\right)^2},$$

Применение к стохастическим матрицам

$$[\nabla_Y]_{kj} = \underbrace{\frac{[\nabla_X^+]_{kj}}{\sum_{l=1}^r y_{lj}} + \frac{[\nabla_X^- Y^T]_{kk}}{\left(\sum_{l=1}^r y_{lj}\right)^2}}_{[\nabla_Y^+]_{kj}} - \underbrace{\left(\frac{[\nabla_X^+]_{kj}}{\sum_{l=1}^r y_{lj}} + \frac{[\nabla_X^- Y^T]_{kk}}{\left(\sum_{l=1}^r y_{lj}\right)^2} \right)}_{[\nabla_Y^-]_{kj}},$$

$$y_{kj} \leftarrow y_{kj} \frac{[\nabla_X^-]_{kj} + \sum_{l=1}^r [\nabla_X^+]_{lj} x_{lj}}{[\nabla_X^+]_{kj} + \sum_{l=1}^r [\nabla_X^-]_{lj} x_{lj}},$$

$$x_{kj} \leftarrow \frac{y_{kj}}{\sum_{l=1}^r y_{lj}}.$$

Для дивергенции Кульбака-Лейблера:

$$y_{kj} \leftarrow y_{kj} \frac{\sum_{i=1}^m a_{ik} \frac{p_{ij}}{q_{ij}} + \sum_{l=1}^r \sum_{i=1}^m a_{il} x_{lj}}{\sum_{i=1}^m a_{ik} + \sum_{l=1}^r \sum_{i=1}^m a_{il} x_{lj} \frac{p_{ij}}{q_{ij}}} = \frac{\sum_{i=1}^m \left(a_{ik} \frac{p_{ij}}{q_{ij}} + q_{ij} \right)}{\sum_{i=1}^m (a_{ik} + p_{ij})}.$$

Применение к стохастическим матрицам

- Релаксация [Zhu et al., 2013]: применим метод множителей Лагранжа:

$$\tilde{D} \left(X, \{\lambda_j\}_{j=1}^n \right) = D(X) - \sum_{j=1}^n \lambda_j \left(\sum_{k=1}^r x_{kj} - 1 \right),$$

$$\frac{\partial \tilde{D}}{\partial x_{kj}} = [\nabla_X^+]_{kj} - [\nabla_X^-]_{kj} - \lambda_j,$$

$$x'_{kj} \leftarrow x_{kj} \frac{[\nabla_X^-]_{kj} + \lambda_j}{[\nabla_X^+]_{kj}},$$

$$\sum_{l=1}^r x'_{lj} = 1 \Leftrightarrow \lambda_j = \frac{1 - \sum_{l=1}^r x_{lj} [\nabla_X^-]_{lj} / [\nabla_X^+]_{lj}}{\sum_{l=1}^r x_{lj} / [\nabla_X^+]_{lj}} \equiv \frac{1 - z_{kj}}{y_{kj}},$$

$$x'_{kj} \leftarrow x_{kj} \frac{[\nabla_X^-]_{kj} y_{kj} + 1 - z_{kj}}{[\nabla_X^+]_{kj} y_{kj}},$$

$$x_{kj} \leftarrow x_{kj} \frac{[\nabla_X^-]_{kj} y_{kj} + 1}{[\nabla_X^+]_{kj} y_{kj} + z_{kj}}.$$

Применение к стохастическим матрицам

Для дивергенции Кульбака-Лейблера:

$$y_{kj} = \sum_{l=1}^r \frac{x_{lj}}{\sum_{i=1}^m a_{il}},$$

$$z_{kj} = \sum_{l=1}^r x_{lj} \frac{\sum_{i=1}^m a_{ik} \frac{p_{ij}}{q_{ij}}}{\sum_{i=1}^m a_{il}},$$

$$x_{kj} \leftarrow x_{kj} \frac{1 + y_{kj} \sum_{i=1}^m a_{ik} \frac{p_{ij}}{q_{ij}}}{z_{kj} + y_{kj} \sum_{i=1}^m a_{ik}}.$$

NMF с АБ-дивергенцией

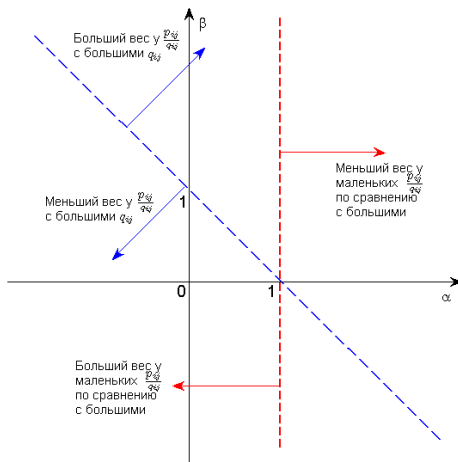
Оптимизационная задача:

$$(A^*, X^*) = \underset{A \geq 0, X \geq 0}{\operatorname{argmin}} D_{AB}^{(\alpha, \beta)}(P, AX).$$

Обобщаемые дивергенции:

(α, β)	Дивергенция
$\alpha + \beta = 1$	α
$(1, -)$	β
$(1, -1)$	Итакура-Сaito
$(1, 1)$	норма Фробениуса
$(0.5, 0.5)$	расстояние Хеллингера
$(2, -1)$	χ^2 Пирсона
$(-1, 2)$	χ^2 Неймана
$(0, 0)$	лог-евклидово расстояние

NMF с АБ-дивергенцией



Влияние параметров α и β на вклад отношений $\frac{p_{ij}}{q_{ij}}$ в получаемые оценки.

Мультипликативные обновления

При $\alpha \neq 0$ работает мультипликативный алгоритм [Cichocki et al., 2011]:

$$X \leftarrow X \otimes \left(\left(A^T Z \right) \oslash \left(A^T Q^{[\alpha+\beta-1]} \right) \right)^{[\omega(\alpha,\beta)]},$$

$$Z = P^{[\alpha]} \otimes Q^{[\beta-1]},$$

$$\omega(\alpha, \beta) = \begin{cases} \frac{1}{1-\beta}, & \frac{\beta}{\alpha} < \frac{1}{\alpha} - 1, \\ \frac{1}{\alpha}, & \frac{\beta}{\alpha} \in \left[\frac{1}{\alpha} - 1, \frac{1}{\alpha} \right], \\ \frac{1}{\alpha+\beta-1}, & \frac{\beta}{\alpha} > \frac{1}{\alpha}. \end{cases}$$

[.] — поэлементное возвведение в степень.

При $\alpha = \beta = 1$ обновления совпадают с мультипликативными обновлениями для нормы Фробениуса, при $\alpha = 1, \beta = 0$ — для обобщённой дивергенции Кульбака-Лейблера.

Как и все мультипликативные алгоритмы, может застревать в нестационарных точках вблизи нулей. Можно использовать отделение от нуля константой ε : в предельной точке модифицированного алгоритма условия стационарности выполняются с точностью до $\mathcal{O}(\varepsilon)$ [Рябенко, 2014].

NMF с дивергенцией Брегмана

Оптимизационная задача:

$$\begin{aligned}(A^*, X^*) &= \underset{A \geq 0, X \geq 0}{\operatorname{argmin}} D_\phi(P, AX) = \\&= \underset{A \geq 0, X \geq 0}{\operatorname{argmin}} \sum_{i=1}^m \sum_{j=1}^n (\phi(p_{ij}) - \phi(q_{ij}) - \nabla \phi(q_{ij})(p_{ij} - q_{ij})).\end{aligned}$$

Мультипликативные обновления

[Dhillon, Sra, 2005]:

$$x_{kj} \leftarrow x_{kj} \frac{\sum_{i=1}^m \nabla^2 \phi(q_{ij}) p_{ij} a_{ik}}{\sum_{i=1}^m \nabla^2 \phi(q_{ij}) q_{ij} a_{ik}}.$$

Обновления минимизируют дополнительную функцию, функция потерь монотонно невозрастает.

При $\phi(p) = p^2/2$ и $\phi(p) = p \ln p$ обновления совпадают с обновлениями MU для нормы Фробениуса и обобщённой дивергенции Кульбака-Лейблера соответственно.

Быстрый алгоритм с использованием разложения Тейлора

Scalar Block Coordinate Descent (sBCD) [Li et al., 2012]: показано, что для дивергенции Брегмана справедливо следующее представление:

$$E_t(P, Q) \equiv \sum_{i=1}^m \sum_{j=1}^n |p_{ij} - q_{ij}|^t, \quad t = 1, 2, \dots,$$

$$P^{(k)} \equiv P - \sum_{l \neq k} A_{:l} X_{l:},$$

$$D_\phi(P, Q) = \sum_{i=1}^m \sum_{j=1}^n \sum_{t=2}^{\infty} \frac{\nabla^t \phi(q_{ij})}{t!} (-\operatorname{sgn}(q_{ij} - p_{ij}))^t E_t(p_{ij}^{(k)}, q_{ij}).$$

Приравнивая к нулю производные $D_\phi(P, Q)$ в таком представлении, получим следующие обновления:

$$x_{kj} \leftarrow \frac{\sum_{i=1}^m \nabla^2 \phi(q_{ij}) p_{ij}^{(k)} a_{ik}}{\sum_{i=1}^m \nabla^2 \phi(q_{ij}) a_{ik} a_{ik}}.$$

Быстрый алгоритм с использованием разложения Тейлора

Как и MU, sBCD — градиентный метод, но его шаги равномерно больше:

$$\text{sBCD: } x_{kj} = x_{kj} - \frac{1}{[(A \otimes A)^T \nabla^2 \phi(AX)]_{kj}} \frac{\partial D_\phi(P, AX)}{\partial x_{kj}},$$

$$\text{MU: } x_{kj} = x_{kj} - \frac{1}{[A^T (\nabla^2 \phi(AX) \otimes (AX))]_{kj}} \frac{\partial D_\phi(P, AX)}{\partial x_{kj}}.$$

При $\phi(p) = p^2/2$ обновления sBCD совпадают с обновлениями HALS;
при $\phi(p) = p \ln p$ имеем:

KL-NMF

$$\frac{x_{kj} \sum_{i=1}^m a_{ik} \frac{p_{ij}}{q_{ij}}}{\sum_{i=1}^m a_{ik}}$$

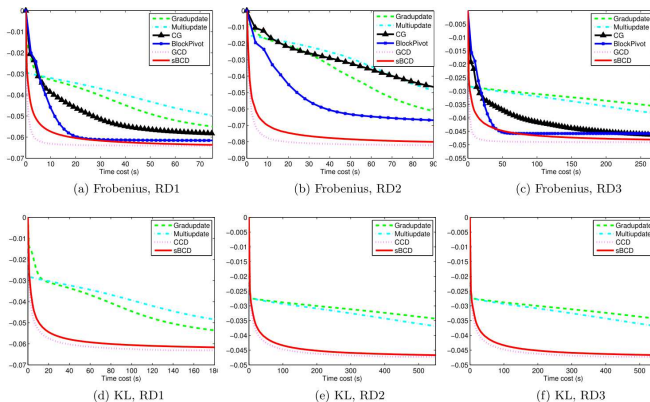
PLSA

$$\frac{x_{kj} \sum_{i=1}^m a_{ik} \frac{p_{ij}}{q_{ij}}}{\sum_{l=1}^r x_{lj} \sum_{i=1}^m a_{il} \frac{p_{ij}}{q_{ij}}}$$

sBCD

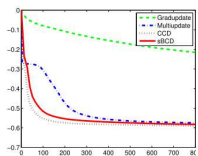
$$\sum_{i=1}^m a_{ik} \frac{p_{ij}^{(k)}}{q_{ij}}$$

Сравнение алгоритмов

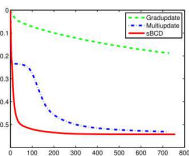


[Li et al., 2012]: зависимость относительной точности приближения $\log_{10} \frac{D_\phi(P, AX)}{D_\phi(P, A_0 X_0)}$ от времени работы алгоритмов на плотных данных. RD1: $m = 2000, n = 1000, r = 30$; RD2: $m = 2000, n = 1000, r = 60$; RD3: $m = 3000, n = 2000, r = 30$. Gradupdate — градиентный метод с фиксированным шагом, Multupdate — MU, CG — ANLS с методом сопряжённых градиентов, BlockPivot — ANLS с методом активных ограничений, GCD/CCD — жадный градиентный метод с/без отбора важных переменных из [Hofmann, 1999].

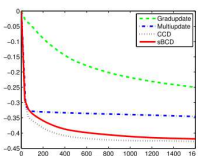
Сравнение алгоритмов



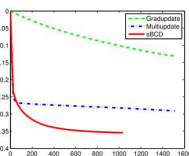
(a) KL, Face Image



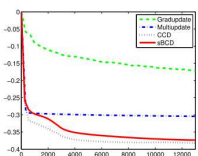
(b) IS, Face Image



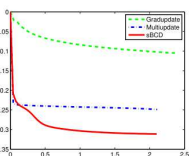
(c) KL, MovieLens



(d) IS, MovieLens



(e) KL, Netflix



(f) IS, Netflix

[Li et al., 2012]: то же. Face Image: $m = 10304$, $n = 400$, $r = 20$; MovieLens: $m = 71567$, $n = 65133$, $r = 20$; Netflix: $m = 480189$, $n = 17770$, $r = 20$; MovieLens и Netflix очень разреженные. Gradupdate — градиентный метод с фиксированным шагом, Multupdate — MU, CCD — жадный градиентный метод из [Hofmann, 1999].

Библиография |

- Berry, M. W., Browne, M., Langville, A. N., Pauca, V. P., Plemmons, R. J. (2007). *Algorithms and applications for approximate nonnegative matrix factorization*. Computational Statistics & Data Analysis, 52(1), 155–173.
- Boutsidis, C., Gallopoulos, E. (2008). *SVD based initialization: A head start for nonnegative matrix factorization*. Pattern Recognition, 41, 1350–1362.
- Casalino, G., Del Buono, N., Mencar, C. (2014). *Subtractive clustering for seeding non-negative matrix factorizations*. Information Sciences, 257, 369–387.
- Chi, E., Kolda, T. (2012). *On tensors, sparsity, and nonnegative factorizations*. SIAM Journal on Matrix Analysis and Applications, 1–28.
- Cichocki, A., Zdunek, R., Amari, S. (2007). *Hierarchical ALS algorithms for nonnegative matrix and 3D tensor factorization*. In M. E. Davies, C. J. James, S. A. Abdallah, M. D. Plumley (Eds.), *Independent Component Analysis and Signal Separation* (pp. 169–176). Springer Berlin Heidelberg.
- Cichocki, A., Phan, A.-H. (2009). *Fast local algorithms for large scale nonnegative matrix and tensor factorizations*. IEICE Transactions on Fundamentals of Electronics Communications and Computer Sciences, E92-A(3), 708–721.
- Cichocki, A., Zdunek, R., Phan, A. (2009). *Nonnegative matrix and tensor factorizations: applications to exploratory multi-way data analysis and blind source separation*. Tokyo: John Wiley & Sons.
- Cichocki, A., Cruces, S., Amari, S. (2011). Generalized Alpha-Beta Divergences and Their Application to Robust Nonnegative Matrix Factorization. Entropy, 13(1), 134–170.

Библиография II

- Ding, C., Li, T., Peng, W. (2006). *Nonnegative matrix factorization and probabilistic latent semantic indexing: Equivalence chi-square statistic, and a hybrid method*. Proceedings of the National Conference on Artificial Intelligence, 342–347.
- Ding, C., Li, T., Peng, W. (2008). *On the equivalence between Non-negative Matrix Factorization and Probabilistic Latent Semantic Indexing*. Computational Statistics & Data Analysis, 52(8), 3913–3927.
- Dhillon, I. S., Sra, S. (2005). *Generalized nonnegative matrix approximations with Bregman divergences*. In Y. Weiss, B. Scholkopf, J. C. Platt (Eds.), Neural Information Processing Systems (pp. 283–290). Vancouver, Canada.
- Donoho, D., Stodden, V. (2004). *When does non-negative matrix factorization give a correct decomposition into parts?* In S. Thrun, L. K. Saul, B. Sch?lkopf (Eds.), Advances in Neural Information Processing Systems (pp. 1141–1148).
- Gillis, N., Glineur, F. (2010). *Using underapproximations for sparse nonnegative matrix factorization*. Pattern Recognition, 43(4), 1676–1687.
- Gillis, N., Glineur, F. (2012). *Accelerated multiplicative updates and hierarchical ALS algorithms for nonnegative matrix factorization*. Neural Computation, 24(4), 1085–105.
- Gillis, N. (2012). *Sparse and unique nonnegative matrix factorization through data preprocessing*. The Journal of Machine Learning Research, 13(1), 3349?3386.
- Gillis, N. (2014). *The Why and How of Nonnegative Matrix Factorization*. arXiv Preprint.
- Grippo, L., Sciandrone, M. (2000). *On the convergence of the block nonlinear Gauss–Seidel method under convex constraints*. Operations Research Letters, 26(3), 127–136.

Библиография III

- Guan, N., Tao, D., Luo, Z., Yuan, B. (2012). *NeNMF: An Optimal Gradient Method for Nonnegative Matrix Factorization*. IEEE Transactions on Signal Processing, 60(6), 2882–2898.
- Han, J., Han, L., Neumann, M., Prasad, U. (2009). *On the rate of convergence of the image space reconstruction algorithm*. Operators and Matrices, 25(1), 1986–1987.
- Hibi, R., Takahashi, N. (2011). *A modified multiplicative update algorithm for euclidean distance-based nonnegative matrix factorization and its global convergence*. Neural Information Processing, 7063, 655–662.
- Ho, N.-D. (2008). *Nonnegative matrix factorization algorithms and applications*. PhD thesis, University catholique de Louvain.
- Hofmann, T. (1999). *Probabilistic latent semantic indexing*. In Proceedings of the 22nd annual international ACM SIGIR conference on Research and development in information retrieval - SIGIR '99 (pp. 50–57). New York, NY, USA: ACM Press.
- Hsieh, C.-J., Dhillon, I. S. (2011). *Fast coordinate descent methods with variable selection for non-negative matrix factorization*. In Proceedings of the 17th ACM SIGKDD international conference on Knowledge discovery and data mining - KDD '11 (p. 1064). New York, NY, USA: ACM Press.
- Huang, K., Sidiropoulos, N. D., Swami, A. (2014). *Non-Negative Matrix Factorization Revisited: Uniqueness and Algorithm for Symmetric Decomposition*. IEEE Transactions on Signal Processing, 62(1), 211–224.
- Kim, H., Park, H. (2007). *Sparse non-negative matrix factorizations via alternating non-negativity-constrained least squares for microarray data analysis*. Bioinformatics (Oxford, England), 23(12), 1495–502.

Библиография IV

- Kim, H., Park, H. (2008). *Nonnegative matrix factorization based on alternating nonnegativity constrained least squares and active set method*. SIAM Journal on Matrix Analysis and Applications, 30(2), 713–730.
- Kim, J., Park, H. (2011). *Fast nonnegative matrix factorization: An active-set-like method and comparisons*. SIAM Journal on Scientific Computing, 33(6), 3261–3281.
- Laurberg, H., Christensen, M. G., Plumbley, M. D., Hansen, L. K., Jensen, S. H. (2008). *Theorems on positive data: on the uniqueness of NMF*. Computational Intelligence and Neuroscience, (2), 764206.
- Lee, D. D., Seung, S. H. (1999). *Learning the parts of objects by non-negative matrix factorization*. Nature, 401(6755), 788–791.
- Lee, D. D., Seung, S. H. (2001). *Algorithms for non-negative matrix factorization*. In Advances in Neural Information Processing Systems (pp. 556–562).
- Li, L., Lebanon, G., Park, H. (2012). *Fast bregman divergence NMF using taylor expansion and coordinate descent*. In ACM SIGKDD international conference on Knowledge discovery and data mining (p. 307). New York, NY, USA: ACM Press.
- Li, L., Zhang, Y.-J. (2009). *FastNMF: highly efficient monotonic fixed-point nonnegative matrix factorization algorithm with good applicability*. Journal of Electronic Imaging, 18(3), 33004–33012.
- Lin, C.-J. (2007). *Projected gradient methods for nonnegative matrix factorization*. Neural Computation, 19(10), 2756–79.
- Morup, M., Hansen, L. K. (2010). *Archetypal analysis for machine learning*. In IEEE International Workshop on Machine Learning for Signal Processing (pp. 172–177).

Библиография V

- Vavasis, S. A. (2009). *On the complexity of nonnegative matrix factorization*. SIAM Journal on Optimization, 20, 1364–1377.
- Zdunek, R., Cichocki, A. (2006). *Non-negative matrix factorization with quasi-Newton optimization*. In Artificial Intelligence and Soft Computing (Vol. 4029, pp. 870–879).
- Zhu, Z., Yang, Z., Oja, E. (2013). *Multiplicative Updates for Learning with Stochastic Matrices*. In Scandinavian Conference on Image Analysis, SCIA (pp. 143–152). Espoo, Finland.
- Рябенко, Е. А. (2014). Мультиплективный метод неотрицательного матричного разложения с АБ-дивергенцией и его сходимость. Машинное обучение и анализ данных, 1(7), 800–816.